

北海道大学工学部 正員 高桑哲男

1. はじめに

配水管網設計の主要な目標としては、水量・水圧の信頼性、水質の安全性、経済性、管路欠損時に対する応急性があげられる<sup>1)</sup>。標題に掲げた配水能力示標は、水量・水圧の信頼性に因する評価示標の一つであり、これによって需要水量変動に対して水量・水圧が確保される割合を定量的に評価しようと考えられる<sup>2)</sup>。

既設管網にあっては、水圧不足によって圧縮される需要水量が把握されねば適用しえないけれども、設計時点で問題となる需要水量予測最確値のまわりの誤差変動に対して有用であることは、文献<sup>2)</sup>に示したとおりである。ただしここでは、管路配置形態を樹枝状としていたのが、本研究では網目状管網への適用について検討することにする。

設計目標を信頼性と経済性にしぼったときには管路配置形態は樹枝状でなければならぬのに対し、さらに応急性をも考慮するときには網目状とならざるをえない。応急性を考慮した設計法としては表-1にあげるような方法が考えられる。各方法の優劣についてはここで述べないが、本研究との関連から見れば、①～③法では配水能力示標の算出と不足したときの付加が必要となり、④法で

は所要の配水能力示標とするための確率管路流量の設定法が明らかにされねばならない。

2. 配水能力示標の定義

節点取り出し水量がいずれも変動係数Cの正規分布をなすと仮定するとき、配水能力示標Rは次式のごとく定義される。

$$R = -C \cdot Z \dots\dots\dots (1)$$

ただし、Zは水圧最悪点における標準化したエネルギー値である。Zの値は正規分布表から読みとることができ、地盤上残存水頭が所要値以上となる確率(超過確率)に対応する。

R=0のときはZ=0、したがってその節点において水圧不足が生じる確率は50%であり、Rが大きくなるにつれて需要水量変動に対して水圧不足の生じる確率は小さくなる。

3. 網目状管網における確率管路流量の設定

樹枝状管網と異なり、網目状管網では一つの節点の上流側に1本以上の管路が並列に接続している。これらの管路に所要の確率流量を設定するため、まず松田の方法あるいは管路流量のバラツキを最小とする方法によって流向および需要水量の予測最確値に対する基本流量、換言すれば配水能力示標R=0に対応する流量を割りつけ、つい

表-1 信頼性および応急性を考慮した経済的管径決定法の分類<sup>3)</sup>

応急性のとりあげ方	方法	設計目標充足プロセス	本研究との関連
積極的	① 区画法による網目状管路流量配分にもとづく方法	応急性 → 経済性 (→ 信頼性)	配水能力示標の算出と付加
	② 応急性と制約条件化した経済的管径決定法	応急性・経済性 (→ 信頼性)	同上
消極的	③ 樹枝状管網に連絡管を配置する方法	経済性 → 応急性 → 信頼性	同上
	④ 松田式または管路流量のバラツキを最小とする網目状管路流量配分にもとづく方法	応急性 → 信頼性・経済性	確率管路流量の設定



るはずである。

設計時点では、所要の  $R$  となるように管径決定する必要があり、そのためには管径決定の前段階で用いられる式(5)中の  $C_0$ ,  $Z_r$  と式(1)の  $R$  との関係が明らかにされねばならない。計算例によって、この関係を調べてみることにする。

〔計算例〕 図-2の管網に対し、松田式流量配分法<sup>(4),(1)</sup>によって基本流量を設定した場合について検討する。計算条件は

$$\text{総費用式: } W = P_A \cdot H_p + \sum_j (\alpha \cdot D_j^{\beta} + \gamma) \cdot L_j \quad (6)$$

において、 $H_p$  = 揚程(m),  $D_j$  = 管径(m),  $L_j$  =

管路長さすべて  $1,000$  m,  $P_A = 2.54 \times 10^6$  (円/m),

$\alpha = 8 \times 10^4$ ,  $\beta = 2$ ,  $\gamma = 1.2 \times 10^4$ .

流速係数: すべて  $100$ .

節点取り出し水量の最確値  $\bar{Q}_i$ : 図-2のとおり。

地盤高: 平坦とし、すべての節点で  $0$  m。

配水ポンプ: 節点1にあり、ポンプ井水位は  $0$  m。

水压計算のためのシミュレーション回数: 各  $500$  回。

予測誤差の変動係数:  $C_0 = 0.3$ 。

管路流量の非超過確率:  $r_0 = 50, 60, 75, 90, 95\%$

とし、式(5)による管路流量およびこれをを用いた経済的管径は表-2のごとくである。

上に得られた  $C$  とおりの管径に対し、 $C = 0.1 \sim 0.5$  の水量変動を与えたモンテカルロシミュレーションによって、末端点8と12におけるエネルギー位を求め、その所要値以上となる確率  $r$  および  $r$  に対応する標準化エネルギー位  $Z$  をプロットすると図-3のごとくである。

図中の曲線は、管路流量を設定したときの  $Z_r$  と  $C_0$  を用いて  $0.3 \cdot Z_r = R_0$  とおき、これを式(1)に代入したときの  $-C \cdot Z = 0.3 \cdot Z_r$  を表わす。図より、 $R_0 = R$  とみなしうる。したがって、流量設定段階で、式(5)における  $C_0 \cdot Z_r$  を式(1)の  $R$  と等しいとおいて

$$Q_{i-u, r_0} = \bar{Q}_{i-u} + R \cdot \theta_{i-u} \quad (7)$$

とし、これに対して管径決定すれば、所要の  $R$  を

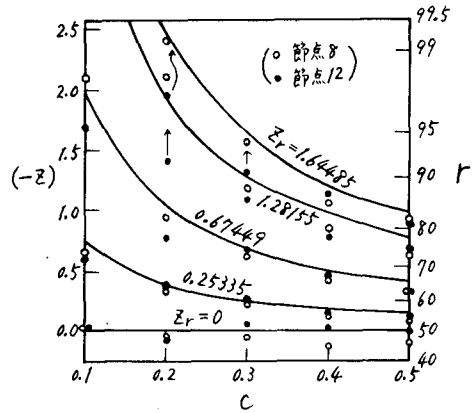


図-3 計算結果の  $Z$  vs.  $C$

も管網が設計されることになる。

以上の流量設定においては、確率の加算、管路流量変動の独立性、閉管路における損失水頭の閉合条件などに関して問題があるにもかかわらず、結果的には設定した  $R$  と計算結果の  $R$  とがほぼ一致しており、実用上は差しつかえないと考える。

#### 4. 配水能力示標の算出法

式(1)の  $R$  を求めるには、取り出し水量の変動係数  $C$  を与え、節点エネルギー位の超過回数の相対度数を超過確率とし、これを  $Z$  に変換して代入すればよい。しかしながら、相対度数から確率値を求めるには、きわめて多数回の管網流量計算を必要とし、計算時間上の困難をともなう。ここでは、取り出し水量増分とエネルギー位低下の間には比例性ならびに加法性が成立すること<sup>(5)</sup> を利用し、標本抽出の考えによって簡単に  $R$  が算出できるとを明らかにする。

すべての節点取り出し水量が予測最確値  $\bar{Q}_i$  に等しいとき、注目する節点  $i$  のエネルギー位を  $\bar{E}_n$  とする。  $i$  点の取り出し水量が  $\bar{Q}_i + \Delta \beta_i$  に変化したとき、エネルギー位が  $\bar{E}_n + \Delta E_{n,i}$  になったとすれば、 $\Delta \beta_i$  と  $\Delta E_{n,i}$  の関係は、比例性の仮定により

$$\Delta E_{n,i} = E_{n,i} - \bar{E}_n \cong (\partial E_n / \partial \beta_i) \cdot \Delta \beta_i \quad (8)$$

と書かれる。ここで  $\Delta \beta_i$  は  $N(0, c^2 \bar{\beta}_i^2)$  をなすから、 $\Delta E_{n,i}$  の分布は  $N(0, c^2 (\partial E_n / \partial \beta_i)^2 \bar{\beta}_i^2)$  となる。

いずれの節点においてと水量変動があるときのエネルギー位低下量  $\Delta E_n$  は、加法性の仮定により

$$\Delta E_n \cong \sum_i \Delta E_{n,i} \dots \dots \dots (9)$$

となる。  $\Delta E_n$  の分布は正規分布の再生性の定理によって  $N(0, c^2 \sum_i (\partial E_n / \partial \beta_i)^2 \cdot \bar{\beta}_i^2)$  となり、したがってエネルギー位  $E_n$  の分布は  $N(\bar{E}_n, c^2 \sum_i (\partial E_n / \partial \beta_i)^2 \cdot \bar{\beta}_i^2)$  と書かれる。

標準化エネルギー位  $z'$  は

$$z' = \frac{E_n - \bar{E}_n}{c \sqrt{\sum_i (\partial E_n / \partial \beta_i)^2 \cdot \bar{\beta}_i^2}} \dots \dots \dots (10)$$

となり、  $E_n$  として各点の所要残存水頭  $\hat{E}_n$  を代入したときの  $z'$  を  $z$  とおけば、  $R$  は次式から得られる。

$$R = -c \cdot z = \frac{\bar{E}_n - \hat{E}_n}{\sqrt{\sum_i (\partial E_n / \partial \beta_i)^2 \cdot \bar{\beta}_i^2}} \dots \dots (11)$$

〔計算例〕 図-4 (A), (B) の管網について、式(11)の成立を検討する。計算条件はつぎのとおり。

節点取り出し水量の最確値:  $\bar{\beta}_2 \sim \bar{\beta}_{12} = 0.1 \text{ m}^3/\text{sec}$ .  
管径: 図-4 (A), (B) に示すとおり。

配水基地のエネルギー位:  $E_1 = 35.52 \text{ m}$ .

$\partial E_n / \partial \beta_i$ :  $0.3 \cdot \bar{\beta}_i$  と  $(-0.3) \cdot \bar{\beta}_i$  に対する平均値。

流速係数, 管路長, 地盤高, 所要水頭: 前例と同じ。

$C = 0.1, 0.2, 0.3, 0.4, 0.5$  の5とおりの水量変動を与え、式(11)によって算出した  $R$  は図-5に示す直線のごとくである。図中の点は相対度数法(シミュレーション回数は各500回)によってのものであり、式(11)が成立するとみなしてよいだろう。

### 5. 配水能力の付加

付加すべき配水能力示標の値を  $\Delta R$  とするときつぎのような方法が考えられる。

(1) 確率管路流量の設定——  $R \cong 0$  のときは、その状態における管路流量を基本流量とし、式(7)の  $R$  に  $R + \Delta R$  を代入して管径を決定する。

(2) 管径の一定比率増加——式(11)の関係を利用すると、必要な管径増加比  $D/D_0$  は

$$D/D_0 = \left\{ 1 + \Delta R \cdot \sqrt{\sum_i (\partial E_n / \partial \beta_i)^2 \cdot \bar{\beta}_i^2} / (E_1 - \hat{E}_n) \right\}^{1/2.87} \quad (12)$$

ただし、右辺の  $\Delta R$  以外は付加前の値を使用する。

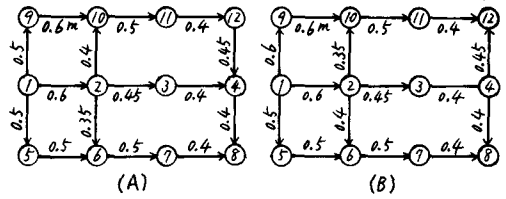


図-4 管網図(その2)

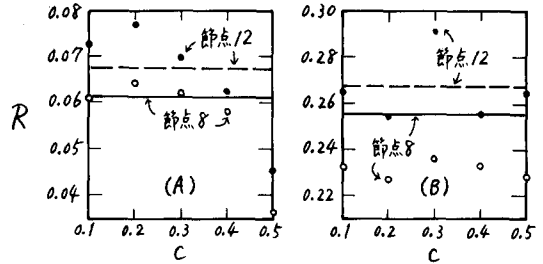


図-5 計算結果の  $R$  vs.  $C$

(3) 揚程増加——式(11)より、必要な増加量は

$$\Delta H_P = \Delta R \cdot \sqrt{\sum_i (\partial E_n / \partial \beta_i)^2 \cdot \bar{\beta}_i^2} \dots \dots \dots (13)$$

(4) 管径の局部的増加——各管径増分に対する  $R$  の増分を式(11)より求め、  $\Delta R$  とするのに効果的な管径増加をおこなう。

以上のうち、(1)は他の設計目標の制約が弱いとき、(2)と(3)は強いときに用いるべきであり、また最終的に規格管径にまらめるときは(3)と(4)を併用すべきであろう。

### 6. あとがき

一般的な管路配置状態について、所要の配水能力をもつ管網を設計するための確率管路流量設定法および管網流量計算が少数回で済む配水能力示標  $R$  の算出法と付加法を明らかにした。

こゝら以外に、①所要  $R$  値の決定、②既設管網への適用など重要な向題が残されているが、今後の課題としたい。

なお、計算には北海道大学大型計算機センターの FACOM 230-60 を利用した。

### 参考文献

- 1) 高桑: 水協誌, 第443号(1971.8)
- 2) 高桑: 水協誌, 第451号(1972.4)
- 3) 高桑: 水協誌, 投稿中。
- 4) 松田: 水協誌, 第329号(1962.2)
- 5) 高桑: 第6回衛生工学研究討論会講演論文集(1970.1)